

京都大学大学院 学生員 飯塚 敦
 京都大学工学部 正員 太田 秀樹

1. はじめに

土固有の弾塑性構成式として提案された関口・太田(1977), 太田・関口(1979)による構成式を用い、平面ひずみ状態のもとで、非排水および排水条件下の応力～ひずみ関係を導いたので報告する。尚、弾性成分は、無視している。

地盤の変形解析においては、構成関係を定めるのに必要のパラメータをどのようにして決定するか、大きな問題となる。ここに取り上げている構成式は、3つのパラメータ、 M, λ, D と、応力の異方向性を表わす η_0 により定められることを示している。ここに、 M : critical state parameter, $\lambda = 1 - \frac{\kappa}{\lambda}$: λ, κ は、それぞれ 0.4340, 0.9346 なる圧縮指数と膨張指数, D : 菜田(1963)によるゲイレイテンション係数, $\eta_0 = \frac{\sigma_0}{P_0} = \frac{3(1-K_0)}{1+2K_0}$: 初期応力比, である。

2. 関口・太田モデル

関口・太田モデルでは、土の体積変化は次式で表わされる。

$$v = \frac{\lambda}{1+e_0} \ln \frac{P}{P_0} + D \eta^* = \frac{M}{\lambda} \ln \frac{P}{P_0} + D \eta^* \dots (1), \quad \eta^* = \sqrt{\frac{3}{2}(\eta_{ij} - \eta_{ij0})(\eta_{ij} - \eta_{ij0})} \dots (2)$$

ここに、 e_0, P_0 は、 K_0 圧密完了時における間隙比と平均有効主応力である。

また、 $v = v^e + v^p$ (v^e : 弾性体積ひずみ, v^p : 塑性体積ひずみ) $\dots (3)$ であり、降伏関数 f は、 v^p と硬化パラメータとを、 $f = \frac{\lambda - \kappa}{1 + e_0} \ln \frac{P}{P_0} + D \eta^* = DM \ln \frac{P}{P_0} + D \eta^* \dots (4)$

と表わされる。(4)式に associated flow rule を適用すると、塑性ひずみ増分テンソルは、

$$d\epsilon_{ij}^p = \frac{D_{ij}}{P} \left\{ \left\{ \frac{MD}{3} + \frac{D}{2\eta^*} \eta_{mn}(\eta_{mn} - \eta_{mn0}) \right\} \delta_{kl} + \frac{3D}{2\eta^*} (\eta_{kl} - \eta_{kl0}) \right\} d\sigma_{kl}', \quad D_{ij} = \left[\frac{1}{3} \delta_{ij} + \frac{\frac{3}{2\eta^*} (\eta_{ij} - \eta_{ij0})}{1 - \frac{3}{2\eta^*} \eta_{mn}(\eta_{mn} - \eta_{mn0})} \right] \dots (5)$$

となり、ここに $P = \frac{1}{3} \sigma_{ij}' \delta_{ij}$ (平均有効主応力), $S_{ij} = \sigma_{ij}' - P \delta_{ij}$ (偏差主応力成分), $\eta_{ij} = \frac{S_{ij}}{P}$ (相対偏差応力) である。

3. 平面ひずみ条件

Fig. 1 に示される 2-方向拘束の平面ひずみ状態において、中間主応力 σ_2' は、

$$\text{西原・太田・畠 (1991) により, } \sigma_2 = \frac{K_0}{1+K_0} (\sigma_1' + \sigma_3') \dots (6) \text{ と近似される。平均}$$

有効主応力 P と軸差主応力 σ を用いると、(2)式および(5)式中の応力項は、

$$\eta^* = \frac{\sqrt{3}}{2} \left| \frac{\sigma}{P} - \frac{\sigma_0}{P_0} \right| = a \frac{\sqrt{3}}{2} \left(\frac{\sigma}{P} - \eta_0 \right) \dots (7), \quad \eta_{kl}(\eta_{kl} - \eta_{kl0}) = \frac{1}{2} \frac{\sigma}{P} \left(\frac{\sigma}{P} - \eta_0 \right) \dots (8)$$

と表わされる。ここに、 $P = \frac{1+2K_0}{3(1+K_0)} (\sigma_1' + \sigma_3')$, $\sigma = \sigma_1' - \sigma_3'$, $a = \begin{cases} +1 \text{ (圧縮側)} \\ -1 \text{ (引張側)} \end{cases}$ である。

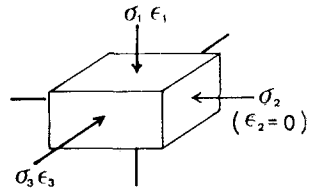


Fig. 1 平面ひずみ状態

(7)式、(8)式を(5)式に代入して整理すると、塑性体積ひずみ v^p , 軸ひずみ ϵ_1^p , 側方ひずみ ϵ_3^p の各増分は、

$$v^p = (M - a \frac{\sqrt{3}}{2} \frac{\sigma}{P}) D \frac{dP}{P} + a \frac{\sqrt{3}}{2} D \frac{d\sigma}{P} \dots (9), \quad d\epsilon_1^p = d v^p \left(\frac{1}{3} + \frac{a \frac{\sqrt{3}}{2}}{M - a \frac{\sqrt{3}}{2} \frac{\sigma}{P}} \right), \quad d\epsilon_3^p = d v^p \left(\frac{1}{3} - \frac{a \frac{\sqrt{3}}{2}}{M - a \frac{\sqrt{3}}{2} \frac{\sigma}{P}} \right) \dots (10)$$

と表わされる。ここで、中間主応力 σ_2 により近似しているため、2方向のひずみは、 $d\epsilon_2^p = \frac{1}{3} d v^p$ として値をとる。

a). 非排水条件

非排水条件は、せん断中の体積変化および、体積ひずみ成分をゼロとすることにより、

$$d v = d v^e + d v^p = 0 \dots (12), \quad v = \frac{M}{\lambda} \ln \frac{P}{P_0} + a \frac{\sqrt{3}}{2} D \left(\frac{\sigma}{P} - \eta_0 \right) = 0 \dots (13)$$

となる。(12)式より $d v^p = -d v^e = -\frac{(1-\lambda)}{\lambda} D M \frac{dP}{P}$ および (13)式より、 $\frac{\sigma}{P} = \eta_0 - a \frac{2}{\sqrt{3}} \frac{\lambda}{M} \ln \frac{P}{P_0}$ を (9), (10), (11)式に代入して、

$$d\epsilon_1^p = -\frac{(1-\lambda)DM}{3\lambda} \frac{dP}{P} - a \frac{\sqrt{3}}{2} D(1-\lambda) \frac{dP}{P \left(\lambda - a \frac{\sqrt{3}}{2} \lambda \eta_0 \right) + \ln \frac{P}{P_0}} \dots (14), \quad d\epsilon_3^p = -\frac{(1-\lambda)DM}{3\lambda} \frac{dP}{P} + a \frac{\sqrt{3}}{2} D(1-\lambda) \frac{dP}{P \left(\lambda - a \frac{\sqrt{3}}{2} \lambda \eta_0 \right) + \ln \frac{P}{P_0}} \dots (15)$$

$$d v^p = -\frac{(1-\lambda)DM}{\lambda} \frac{dP}{P} \dots (16)$$

となり、非排水状態における応力-ひずみ関係が、 p について積分する
ことにより、

$$E_1^p = -\frac{(1-\lambda)DM}{3\lambda} \ln \frac{p}{p_0} - a\frac{\sqrt{3}}{2}D(1-\lambda) \ln \left(1 + \frac{\ln \frac{p}{p_0}}{\lambda - a\frac{\sqrt{3}}{2}\eta_0} \right) \dots (17)$$

$$E_3^p = -\frac{(1-\lambda)DM}{3\lambda} \ln \frac{p}{p_0} + a\frac{\sqrt{3}}{2}D(1-\lambda) \ln \left(1 + \frac{\ln \frac{p}{p_0}}{\lambda - a\frac{\sqrt{3}}{2}\eta_0} \right) \dots (18)$$

$$v^p = -\frac{(1-\lambda)DM}{\lambda} \ln \frac{p}{p_0} \dots (19)$$

と求まる。応力経路 (p - θ) は、(18)式により定められる (Fig. 2)。非
異方性は、初期応力比 η_0 によって表現され、等方圧密状態では、 $\eta_0=0$
である。

b). 排水条件

排水条件下では、土要素への作用荷重は、すべて有効応力増分と
なる。Fig. 3 に示される任意の角度 θ で表わされる載荷経路とを
えると、応力比 $\frac{\theta}{p}$ は、

$$\frac{\theta}{p} = m + (\eta_0 - m) \frac{p_0}{p} \dots (20) \quad m = \tan \theta \quad (|\theta| < \frac{\pi}{2})$$

となる。(20)式を (9), (10), (11) の各式に代入し、 p について積分す
ると、

$$E_1^p = \left(\frac{HD}{3} + a\frac{\sqrt{3}}{2}D \right) \ln \frac{p}{p_0} + a\frac{\sqrt{3}}{2}D(\eta_0 - m) \left(\frac{p_0}{p} - 1 \right) + \frac{\frac{3}{2}mD}{H - a\frac{\sqrt{3}}{2}m} \ln \left| \frac{(H - a\frac{\sqrt{3}}{2}m)\frac{p_0}{p} - a\frac{\sqrt{3}}{2}(\eta_0 - m)}{(H - a\frac{\sqrt{3}}{2}\eta_0)} \right| \dots (21)$$

$$E_3^p = \left(\frac{HD}{3} - a\frac{\sqrt{3}}{2}D \right) \ln \frac{p}{p_0} + a\frac{\sqrt{3}}{2}D(\eta_0 - m) \left(\frac{p_0}{p} - 1 \right) - \frac{\frac{3}{2}mD}{H - a\frac{\sqrt{3}}{2}m} \ln \left| \frac{(H - a\frac{\sqrt{3}}{2}m)\frac{p_0}{p} - a\frac{\sqrt{3}}{2}(\eta_0 - m)}{(H - a\frac{\sqrt{3}}{2}\eta_0)} \right| \dots (22)$$

$$v^p = HD \ln \frac{p}{p_0} + a\frac{\sqrt{3}}{2}D(\eta_0 - m) \left(\frac{p_0}{p} - 1 \right) \dots (23)$$

と求まる。一方 $|\theta| = \frac{\pi}{2}$ の時は、 $p = p_0$ (const.)

であるので、(9), (10), (11) の各式は、 θ について
積分され

$$E_1^p = a\frac{\sqrt{3}}{2}D \left(\frac{\theta}{p_0} - \eta_0 \right) - a\frac{\sqrt{3}}{2}D \ln \left| \frac{M - a\frac{\sqrt{3}}{2}\frac{\theta}{p_0}}{M - a\frac{\sqrt{3}}{2}\eta_0} \right| \dots (24)$$

$$E_3^p = a\frac{\sqrt{3}}{2}D \left(\frac{\theta}{p_0} - \eta_0 \right) + a\frac{\sqrt{3}}{2}D \ln \left| \frac{M - a\frac{\sqrt{3}}{2}\frac{\theta}{p_0}}{M - a\frac{\sqrt{3}}{2}\eta_0} \right|$$

$$v^p = a\frac{\sqrt{3}}{2}D \left(\frac{\theta}{p_0} - \eta_0 \right) \dots (25)$$

と求まる。Fig. 4 には、非排水応力-ひずみ
関係 (17), (18), (19) 式) をも含め、

Fig. 3 における載荷経路のうち、 $\theta = \pm \frac{\pi}{4}$
の場合については、(21), (22), (23) 式を用い

$\theta = \pm \frac{\pi}{2}$ の場合には、(24), (25), (26) 式を用

いて応力-ひずみ関係が示されている。各パラメータは、仮想的粘性土を想定し、 $\lambda = 0.8182$, $M = 1.4183$, $D = 0.053$
を用いている。また、異方性については、 $K_0 = 0.5$ より $\eta_0 = 0.75$ としている。但し、図中、圧縮側が正である。

4. おわりに

関口・太田によるモデルを用いて、平面ひずみ条件下、非排水条件・排水条件におけるいくつかの応力-ひずみ関係と導いたが、必
要なパラメータは、 D, M, λ の3つである。これ5のパラメータは互いに独立に定数ではなく、種々の土質定数と互いに従属的
な関係を持つ。そのため、単にパラメータの操作だけでは、各土質定数の感度は分らない。今後、変形解析が十分に現場の予測
となりうるためには、モデルから推定される強度と関連して、パラメータの同定方法と日頃から検討したい。 (参考文献 1) Sekiguchi & Ohta; Proc. Specialty Session
9, 9th. Conf. S. F. E. (1977) 2) Ohta & Sekiguchi; 3rd. Int. Conf. on Numerical Methods in Geomechanics (1979) 3) 塚田; 土木防災年報 (1982)
4) 西原・太田 & 島; 第16回土工学研究会発表会 (1981)

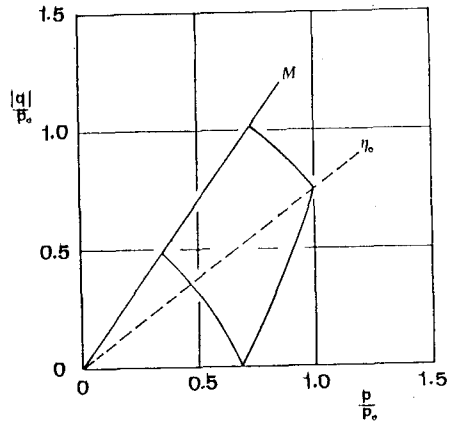


Fig. 2 非排水応力経路

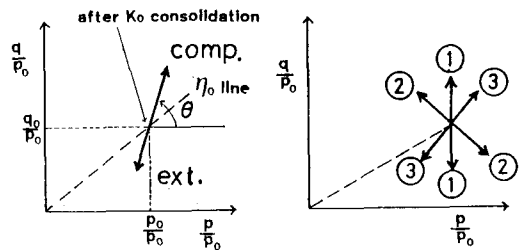


Fig. 3 載荷経路の定義

Fig. 4 載荷経路

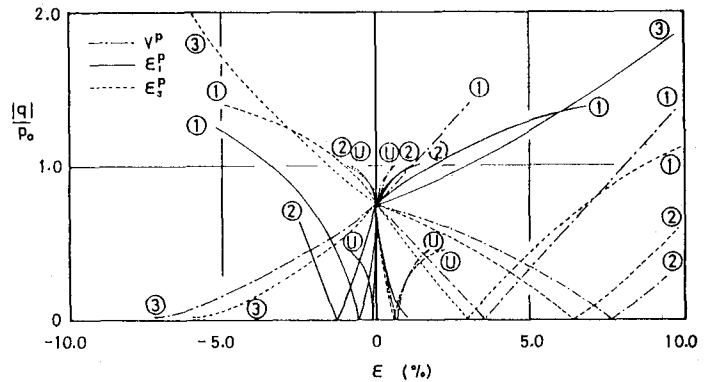


Fig. 4 各種応力-ひずみ関係